

12

## CAP. II TÓPICOS ESPECIAIS

- CONVECÇÃO DE CALOR ~~LAMINAR~~
- FLUIDOS COMPRESSÍVEIS
- ESCOAMENTOS TURBULENTOS

## 11.1 CONVECÇÃO DE CALOR

Considerando:

- escoamento laminar bidimensional
- fluido incompressível
- propriedades variáveis ( $\rho, \mu, \nu, k$ )
- coordenadas cartesianas

O modelo matemático de problemas de convecção (forçada/natural) é dado por:

$$\text{Eq. Conservação da massa: } \frac{\partial \rho}{\partial t} + \frac{\partial (\rho u)}{\partial x} + \frac{\partial (\rho v)}{\partial y} = 0 \quad (11.1)$$

Eq. Conservação da <sup>quantidade</sup> de movimento linear na direção  $x$  (QMLX):

$$\frac{\partial (\rho u)}{\partial t} + \frac{\partial (\rho u^2)}{\partial x} + \frac{\partial (\rho v u)}{\partial y} = -\frac{\partial p}{\partial x} + \frac{\partial (\mu \frac{\partial u}{\partial x})}{\partial x} + \frac{\partial (\mu \frac{\partial u}{\partial y})}{\partial y} \quad (11.2)$$

QMLY:

$$\frac{\partial (\rho v)}{\partial t} + \frac{\partial (\rho v^2)}{\partial y} + \frac{\partial (\rho u v)}{\partial x} = -\frac{\partial p}{\partial y} + \frac{\partial (\mu \frac{\partial v}{\partial x})}{\partial x} + \frac{\partial (\mu \frac{\partial v}{\partial y})}{\partial y} + \underbrace{\rho g \beta (T - T_\infty)}_{\text{força de empuxo}} \quad (11.3)$$

Eq. Conservação da energia térmica:

$$\rho c_p \frac{\partial T}{\partial t} + \rho c_p u \frac{\partial T}{\partial x} + \rho c_p v \frac{\partial T}{\partial y} = \frac{\partial (k \frac{\partial T}{\partial x})}{\partial x} + \frac{\partial (k \frac{\partial T}{\partial y})}{\partial y} + \dot{q} \quad (11.4)$$

onde

$T$  = temperatura

$c_p$  = calor específico à pressão constante

$k$  = condutividade térmica

$\dot{q}$  = geração de calor por unidade de volume

$g$  = módulo da aceleração gravitacional (vertical)

$T_\infty$  =  $T$  de referência

$\beta$  = coeficiente de expansão térmica =  $-\frac{1}{\rho} \left( \frac{\partial \rho}{\partial T} \right)_p$

~~As outras variáveis seguem as definições do Cap. 10~~

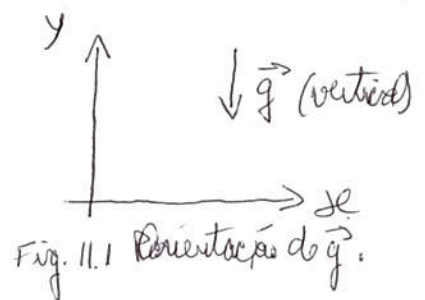
$x, y$  = coordenadas espaciais

$t$  = " temporal

$u, v$  = componentes do vetor velocidade ( $\vec{V}$ ) nas direções  $x$  e  $y$

$p$  = pressão estática

$\mu$  = viscosidade absoluta



(11.5)

INCÓGNITAS:  $u, v, p, T$

O termo  $\rho g \beta (T - T_\infty)$  da Eq. (11.3) representa a aproximação de Boussinesq para convecção natural. [explicitar  $\neq$  entre convecção forçada/natural], Ela é usada para considerar  $\rho$  constante ~~em~~ em problemas de convecção natural cujo movimento <sup>do fluido</sup> é causado pelas diferenças de  $\rho$  devido às variações de  $T$ .

A discretização das Eqs. (11.1) a (11.4) pode ser feita conforme visto no Cap. 10, observando-se:

$$\int_{\Delta V} \rho g \beta (T - T_\infty) dV \approx \rho_P g \beta_P (T_P - T_\infty) \Delta x_P \Delta y_P \Delta z_P \quad (11.6)$$

• deve-se usar  $(\rho)_P$  na integração da Eq. (11.4)

Algoritmo resumido para solução de regime permanente:

- 1) ler os dados e fazer inicializações para  $t = 0$
- 2) estimar  $u_P^*$ ,  $v_P^*$ ,  $p_P^*$  e  $T_P^*$  em  $t + \Delta t$
- 3) calcular os coeficientes e fontes da MMLX e MMLY
- 4) resolver a MMLX obtendo  $u_P^*$
- 5) " " MMLY " "  $v_P^*$
- 6) calcular  $u_e^*$  e  $v_n^*$
- 7) calcular os coeficientes e fontes da MASSA
- 8) resolver a MASSA obtendo  $p_P^*$
- 9) corrigir  $u_P^*$ ,  $v_P^*$ ,  $u_e^*$ ,  $v_n^*$  e  $p_P^*$  com  $p_P^*$  obtendo  $u_P$ ,  $v_P$ ,  $u_e$ ,  $v_n$  e  $p_P$
- 10) calcular os coeficientes e fontes da ENERGIA
- 11) resolver a ENERGIA obtendo  $T_P$
- 12) voltar ao item 2 até satisfazer algum critério de convergência
- 13) pós-processamento

CICLOS:

- a) MASSA: itens 7 a 9 (recomenda-se repetir 2 ou 3 vezes, normalmente)
- b) TRANSIENTE: itens <sup>PNL</sup> 2 a 11 devem ser repetidos até satisfazer algum critério

O algoritmo acima é indicado para problemas de conexão natural, conexão forçada mista (forçada e natural) e hidrodinâmicos (MSSA + ~~2~~ MLC) com  $u(T)$ . No caso particular de problemas de conexão forçada com  $u$  constante, pode-se obter a convergência de  $u, v$  e  $p$  (ciclos 2 a 9) e depois resolver  $T$  (ciclos 10 e 11).

## 11.2 ESCOAMENTO DE FLUIDOS COMPRESSÍVEIS

considerações:

- ESCOAMENTO LAMINAR
- " " " " BIDIMENSIONAL
- GÁS ~~PERFECTO~~ PERFECTO
- ~~PROPRIEDADES CONSTANTES (CP)~~
- COORDENADAS CARTESIANAS

~~$\frac{\partial}{\partial x}(\rho u) + \frac{\partial}{\partial y}(\rho v)$~~  Alterações no modelo de conservação de calor, dado pelas eqs. (11.1) a (11.4):

• na QML  $x$  acrescentar <sup>o 1º membro da eq. (11.2)</sup>  ~~$\frac{\partial}{\partial x}(\rho u)$~~   $+\frac{1}{3} \frac{\partial}{\partial x}(\mu \nabla \cdot \vec{v})$  (11.7)

• na QML  $y$  acrescentar <sup>o 2º membro da eq. (11.3)</sup>  ~~$\frac{\partial}{\partial y}(\rho v)$~~   $+\frac{1}{3} \frac{\partial}{\partial y}(\mu \nabla \cdot \vec{v})$  (11.8)

• na ENERGIA  $u$  " " " " " " eq. (11.4)  $+\frac{\partial p}{\partial t} + u \frac{\partial p}{\partial x} + v \frac{\partial p}{\partial y}$  (11.9)

onde  $\nabla \cdot \vec{v} = \frac{\partial u}{\partial x} + \frac{\partial v}{\partial y}$  (11.10)

Além disso, deve-se acrescentar ~~uma~~ equação de estado dos gases perfeitos, dada por:

$$p = \rho R T \quad (11.11)$$

onde  $R$  é a constante dos gás.

Portanto ~~o~~ o modelo matemático é constituído por 5 equações e as incógnitas são  $u, v, p, T$  e  $\rho$ .

Aproximação do termo da Eq. (11.7)  $\left[ \text{QML } x \right] \rightarrow u$

$$\int_{\text{volume}} \frac{1}{3} \frac{\partial}{\partial x} \left[ \mu \left( \frac{\partial u}{\partial x} + \frac{\partial v}{\partial y} \right) \right] dx dy dz \approx \frac{1}{3} \left[ u_e (\nabla \cdot \vec{v})_e - u_w (\nabla \cdot \vec{v})_w \right] \Delta y \Delta z \quad (11.12)$$

onde  $(\nabla \cdot \vec{v})_e = \left( \frac{\partial u}{\partial x} + \frac{\partial v}{\partial y} \right)_e \approx \underbrace{\frac{(u_e - u_w)}{\Delta x}}_{\text{coeficiente}} + \underbrace{\frac{(v_n + v_{ne} - v_s - v_{se})}{4 \Delta y}}_{\text{fonte}}$  (11.13)

Aproximação do termo da Eq. (11.8)  $\left[ \text{QML } y \right] \rightarrow v$

$$\int_{\text{volume}} \frac{1}{3} \frac{\partial}{\partial y} (\mu \nabla \cdot \vec{v}) dx dy dz \approx \frac{1}{3} \left[ u_n (\nabla \cdot \vec{v})_n - u_s (\nabla \cdot \vec{v})_s \right] \Delta x \Delta z \quad (11.14)$$

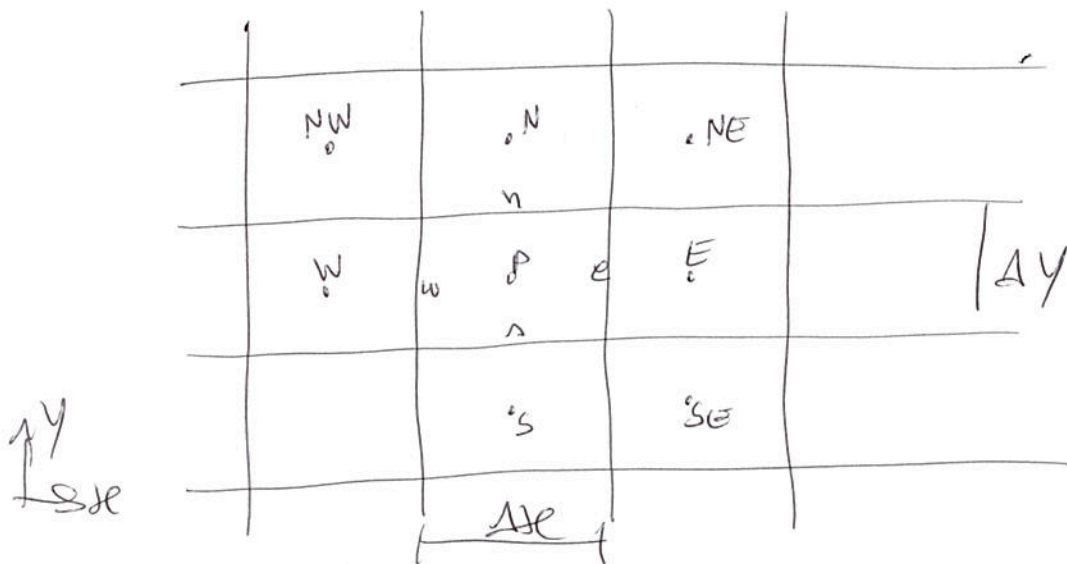


Figura 11.2 Malha 2D.

onde

$$(\nabla \cdot \vec{v})_n = \left( \frac{\partial u}{\partial x} + \frac{\partial v}{\partial y} \right)_n \approx \underbrace{\frac{(u_E + u_{NE} - u_W - u_{NW})}{4\Delta x}}_{\text{fonte}} + \underbrace{\frac{(v_N - v_P)}{\Delta y}}_{\text{coeficientes}} \quad (11.15)$$

Aproximação do termo da eq. (11.9) [ENERGIA]  $\rightarrow T$

$$\int_t \int_{\text{volume}} \left( \frac{\partial p}{\partial t} + u \frac{\partial p}{\partial x} + v \frac{\partial p}{\partial y} \right) dx dy dz dt \approx \underbrace{\left( (p_P - p_P^0) \Delta x \Delta y \Delta z + u_P \frac{(p_E - p_W)}{2} \Delta y \Delta z \Delta t + v_P \frac{(p_N - p_S)}{2} \Delta x \Delta z \Delta t \right)}_{\text{fonte}} \quad (11.16)$$

Discretizando-se a MASSA, eq. (11.1), obtêm-se

$$\frac{(M_P - M_P^0)}{\Delta t} + \dot{M}_e - \dot{M}_w + \dot{M}_n - \dot{M}_s = 0 \quad (11.17)$$

onde  $M_P = \rho_P \Delta x \Delta y \Delta z$  (11.18)

$$M_P^0 = \rho_P^0 \Delta x \Delta y \Delta z \quad (11.19)$$

$$\dot{M}_e = \rho_e u_e \Delta y \Delta z \quad (11.20)$$

Quando o fluido é compressível é importante considerar a relação entre  $\rho$  e  $p$  na MASSA, além de  $(u^0)$  e  $p$ . Assim, considerando-se

$$u = u^0 + u' \quad (11.21)$$

$$p = p^* + p' \quad (11.22)$$

na Eq. (11.20), obtêm-se

$$M_e = (p_e^* u_e^* + p_e^* v_e^* + p_e^* w_e^* + p_e^* u_e^*) \Delta V \Delta z \quad (11.23)$$

Desprezando as relações para  $u^*$  e  $v^*$  são obtidas de métodos de acoplamento pressão-velocidade, SIMPLEC por exemplo. E, para  $p^*$ , a partir da equação de estado, Eq. (11.11), chega-se a

$$p^* = \frac{p}{RT} \quad (11.24)$$

Com as relações  $u^*(p^*)$ ,  $v^*(p^*)$  e  $w^*(p^*)$  na Eq. (11.23) e análogas, desprezando-se termos de 2ª ordem ( $p^* u^*$ ), e substituindo os resultados na Eq. (11.17), chega-se a

$$a_p^* p^* = a_w^* p_w^* + a_e^* p_e^* + a_s^* p_s^* + a_n^* p_n^* + b_p^* \quad (11.25)$$

onde, p. ex.,

$$a_w^* = \underbrace{\frac{u_w^* (1/2 + \alpha_w) \Delta V \Delta z}{RT_w}}_{\text{efeito de } p} + \underbrace{p_w^* d_w}_{\text{efeito de } u} \quad (11.26)$$

*p\* não aparece*  
~~é obtido das eqs. resultantes de (11.27) a (11.30), com  $\alpha$  positivo conforme desejado (1/2  $\rightarrow$  UDS, 0  $\rightarrow$  CBS, ou +)~~  
 Algoritmo:

- 1) LER DADOS
- 2) INICIALIZAÇÕES
- 3) calcular propriedades ( $\mu, \rho, k, \beta$ )
- 4) calcular coeficientes, fontes e c.c.  $u^*$  e resolver  $u^*$
- 5) calcular fontes de  $v^*$  e c.c. " " "  $v^*$
- 6) " coef, c " " T " " " " T
- 7) "  $p^*$  e  $p^*$  faces
- 8) " coeficientes do SIMPLEC
- 9) " velocidades nas faces
- 10) " coeficientes, fontes e c.c.  $p^*$  e resolver  $p^*$
- 11) convergência  $p^*$
- 12) voltar ao item 3 até convergir
- 13) pós-processamento

11.3

MODELO  $k-\epsilon$  PARA ESCOAMENTOS TURBULENTOS

- FLUIDO INCOMPRESSÍVEL
- ESCOAMENTO TURBULENTO
- ESTADO PERMANENTE
- ESCOAMENTO BIDIMENSIONAL

escoamento interno

$$\frac{\partial}{\partial x}(\rho U \phi) + \frac{\partial}{\partial y}(\rho V \phi) = \frac{\partial}{\partial x}(\rho \phi \frac{\partial \phi}{\partial x}) + \frac{\partial}{\partial y}(\rho \phi \frac{\partial \phi}{\partial y}) + S \phi \quad (11.27)$$

ONDE

equação	$\phi$	$\rho \phi$	$S \phi$
MASSA	1	0	0

(11.28)

QMLX	U	$\mu_{ef}$	$-\frac{\partial p}{\partial x} + \frac{\partial}{\partial x}(\mu_{ef} \frac{\partial U}{\partial x}) + \frac{\partial}{\partial y}(\mu_{ef} \frac{\partial V}{\partial x})$
------	---	------------	--

(11.29)

QMLY	V	$\mu_{ef}$	$-\frac{\partial p}{\partial y} + \frac{\partial}{\partial x}(\mu_{ef} \frac{\partial U}{\partial y}) + \frac{\partial}{\partial y}(\mu_{ef} \frac{\partial V}{\partial y})$
------	---	------------	--

(11.30)

ENERGIA CINÉTICA TURBULENTO	k	$\frac{\mu_t}{\sigma_k} + \mu$	$\rho(P^k - \epsilon)$
-----------------------------	---	--------------------------------	------------------------

(11.31)

dissipação de k	$\epsilon$	$\frac{\mu_t}{\sigma_\epsilon} + \mu$	$\rho \frac{\epsilon}{k} (C_1 P^k - C_2 \epsilon)$
-----------------	------------	---------------------------------------	--

(11.32)

ONDE

$$\mu_{ef} = \mu_t + \mu \quad (11.33)$$

$$\mu_t = \rho C_\mu \frac{k^2}{\epsilon} \quad (11.34)$$

$$P^k = \mu_t \left[ 2 \left( \frac{\partial U}{\partial x} \right)^2 + 2 \left( \frac{\partial V}{\partial y} \right)^2 + \left( \frac{\partial U}{\partial y} + \frac{\partial V}{\partial x} \right)^2 \right] \quad (11.35)$$

CONSTANTES:

$C_\mu = 0.09$

$\sigma_k = 1.0$

$\sigma_\epsilon = 1.3$

$C_1 = 1.44$

$C_2 = 1.92$

(11.36)



$x, y =$  direções coordenadas

$U, V =$  componentes médias do vetor velocidade em  $x$  e  $y$

$p =$  pressão estática média

$\rho =$  massa específica

$k =$  energia cinética turbulenta  $\left( \frac{\overline{u^2} + \overline{v^2}}{2} \right)$

$\varepsilon =$  dissipação de  $k$

$\mu =$  viscosidade laminar

$\mu_t =$  " turbulenta

$\mu_{ef} =$  " efetiva [centenas ou milhares de vezes  $\mu$ ]

Aproximações de alguns termos:

$$\Delta x \Delta z : \int_{Vol} \frac{\partial}{\partial y} \left( \mu_{ef} \frac{\partial v}{\partial x} \right) dx dy dz \approx \left[ \left( \mu_{ef} \frac{\partial v}{\partial x} \right)_n - \left( \mu_{ef} \frac{\partial v}{\partial x} \right)_s \right] \Delta x \Delta z \quad (11.37)$$

$$\left( \frac{\partial v}{\partial x} \right)_n \approx \frac{(v_E + v_{NE} - v_W - v_{NW})}{4 \Delta x} \quad (11.38)$$

$$\Delta y \Delta z : \int_{Vol} \frac{\partial}{\partial x} \left( \mu_{ef} \frac{\partial u}{\partial y} \right) dx dy dz \approx \left[ \left( \mu_{ef} \frac{\partial u}{\partial y} \right)_e - \left( \mu_{ef} \frac{\partial u}{\partial y} \right)_w \right] \Delta y \Delta z \quad (11.39)$$

$$\left( \frac{\partial u}{\partial y} \right)_e \approx \frac{(u_N + u_{NE} - u_S - u_{SE})}{4 \Delta y} \quad (11.40)$$

$$\int_{Vol} P^k dx dy dz \approx (\mu_t)_p \left\{ 2 \left( \frac{u_E - u_W}{2 \Delta x} \right)^2 + 2 \left( \frac{v_N - v_S}{2 \Delta y} \right)^2 + \left[ \frac{(u_N - u_S)}{2 \Delta y} + \frac{(v_E - v_W)}{2 \Delta x} \right]^2 \right\} \Delta x \Delta y \Delta z \quad (11.41)$$

## Algoritmo:

- 1) Ler dados
- 2) Inicializações
- 3) calcular propriedades ( $\mu$ ,  $\rho$ ,  $k$ ,  $\beta$ ,  $\mu_t$ ,  $\mu_{ef}$ )
- 4) resolver  $u^*$
- 5) "  $v^*$
- 6) "  $p^*$
- 7) correções com  $p^*$
- 8) resolver  $k$
- 9) "  $\epsilon$
- 10) voltar ao item 3 até convergir
- 11) pós-processamento